

神戸大学工学部 正真 谷本喜一

同 正真〇西 勝

1. まえがき

比較的粒径の均等なゆるい飽和砂層が振動あるいは衝撃をうけるとき、その粒子構造の急激な破壊に伴う過剰間ゲキ水圧の発生によって流動化することは、かなり以前より多くの震害調査および室内実験によって報告されている。ことに、その震害の大半がこの現象に起因すると確認された1964年の新潟地震以後、この現象に関する諸種の研究が活発に実施され、その成果も多數発表されていることは周知のとおりである。しかしながら、この流動化現象の機構に関する定量的な解析法に触れた研究は極めて少ないようと思われる。

本研究は、模擬的に流動化された飽和砂層の表面沈下量および過剰間ゲキ水圧の実測記録に基かれて、全沈下量が衝撃による粒子構造の急激な一時的破壊によるものと、圧密によるものとの二つの過程に大別されること、および後者の圧密過程における過剰間ゲキ水圧の消滅過程が飽和粘土に対する一次元圧密理論によって近似的に解析されることを明らかにしたものである。

2. 実験装置および実験方法

実験装置は、一边80cmの正方形断面をもつた高さ130cmの砂箱、14枚の板バネによって支持された水平振動台、60度の衝撃用落锤および諸種の測定装置からなり、それらは図-1のよう配設されている。また、使用された試料は有効径 $C_e = 0.29\text{ mm}$ 、均等係数 $C_u = 2.69$ をもつて比較的の粒径の均等な砂である。実験方法としては、この試料を振動台上に固定された砂箱に高さ110cmまで水中でできるだけゆるく($c=0.66$)詰めた後、砂層内の加速度が最大約200~300 galになるようにあらかじめ定められた高さより落锤を自由に落下させて振動台上に水平振動を与えた。この衝撃振動中に生じる砂層内の加速度、いろいろな場所での過剰間ゲキ水圧および表面沈下量の時間的変動は砂層内に埋設された2個の加速度計、4個の水圧計および砂層表面にさり足を埋め込まれた軽量の多孔性板に設置された差動変位計によってそれぞれ電気的に記録された。

流動化機構に及ぼす衝撃間隔の影響を調べるために次の2種類の実験が実施された。

(1). 単一衝撃の繰り返しによる実験(以後、単打実験と略記する)

この実験は、同一の单一衝撃を与えるとき、砂層内に生じる過剰間ゲキ水圧の上昇および表面沈下量がその初期間ゲキ比によってどのように影響されるかを検討する目的でなされたもので、前回の衝撃影響が完全に消去するように6時間以上の間隔をあけて總計15回の衝撃が与えられた。

(2). 連続衝撃による実験(以後、連打実験と略記する)

この実験は、砂層が同量の連続的衝撃をうける場合の過剰間隙水圧および表面沈下量の変動を調べるために実施されたもので、約3秒間隔で過剰間隙水圧がほぼ消滅するまで繰り返された。

3. 実験結果

单打実験の結果：1例として、第1回目の衝撃による砂箱底面から10cmの位置での間隙水圧、砂層内の加速度および表面沈下量の実測記録を示すと図-2のようになる。最上図より、過剰間隙水圧は加振後約36秒で最大値に達し、その後じょじょに減少し約25秒ではほとんど消散することが確かめられる。この最大間隙水圧値に達するまでに要する時間は、衝撃回数の増加とともに減少するようである。また、最下図に示されるように、表面沈下量の変動の様子は、衝撃直後にあってかなり振動的であるが、漸次なめらかな曲線に移行して一定値に達している。解析を簡単にするために、この沈下実測記録はその全振幅のほぼ中心を結んだ破線で示された曲線に置換された。

断面の關係上、その図は省略されたが衝撃回数が増加するとともに、すなはち砂層が盛になるほど流動化現象が生じにくくなることが確かめられている。

連打実験の結果：連続的にうれたビジグラフから読まれる時間記録を横軸にとり、单打実験の場合と同様に補正された曲線から読みとられる各打撃ごとの最大間隙水圧および最大沈下量の時間的変動を示すと図-3のようになる。この図より、砂層内の各位置での最大過剰間隙水圧はいずれも時間の経過とともに減少するが、その割合は経過時間が小さい間は小さく、ある時間以後急激に大きくなることが認められる。また、最大沈下量は時間の経過とともに一様に増加するが、過剰間隙水圧がほぼ一定値に達する時間に前後して一定値となることが確かめられる。さらには、同図上に最大加速度の実測値も示されているが、予期したように大体200-300 galの範囲にあるようである。

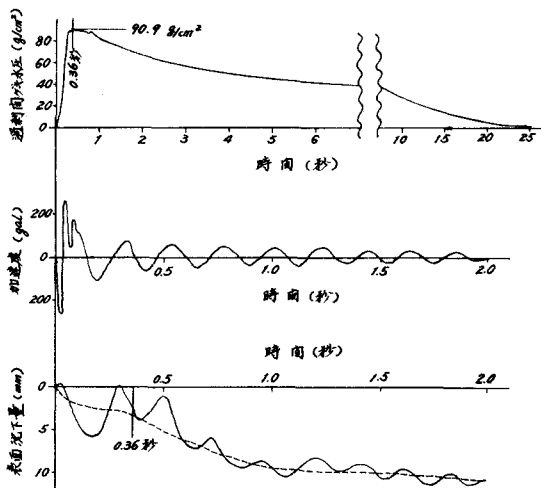


図-2 单打実験測定記録

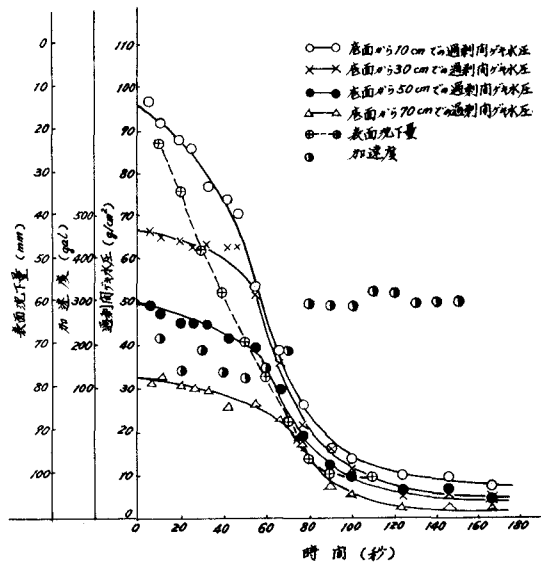


図-3 連打実験測定記録

4. 考察および解析

図-2の破線で示された置換沈下曲線を半対数紙上で再現すると図-4のようになる。この関係が加振後約3秒ではほぼ直線関係に入ることより、これ以後の沈下過程は粘性土の一次元圧密理論によって解析されると考えられる。さらに、この圧密過程は過剰間隙水圧が最大になる時間(0.36秒)で始まると仮定し、 $\log \sigma$ 法における初期補正法(放物線関係)によって整理すれば、同図上の細線で示されるように、砂層の表面沈下量は他の原因によるものと圧密によるものとの二つの過程に大別される。

衝撃直後短時間の間に生じる前者の過程は、衝撃による砂粒子構造の急激な一時的破壊に起因するものと思われ、乾燥状態と同じ間隙比をもつようにならされた同試料が同様に加振されたときに生じる沈下性状に類似しているのではないかと推測される。この過程を本研究では單に“衝撃による沈下過程”と称し圧密によるものと区別することとした。

同様な操作で連打実験の沈下記録を二つの過程に分離すれば図-5が得られる。この結果より、連打実験の場合、衝撃による沈下過程の影響は時間の経過とともに減少し、約50秒前後で二つの過程による累積沈下量はほぼ一定値に達することが認められる。すなはち、この経過時間以後の表面沈下量はほとんど圧密過程のみに左右されるものと思われる。

本研究における数値解析は流動化現象の圧密過程に関するもののみで、上記観察結果による飽和砂層の圧密過程に粘性土の一次元圧密理論が適用されるかどうかを検討したものである。

一次元圧密理論の基本方程式は

$$\frac{\partial u}{\partial t} = C_v \frac{\partial^2 u}{\partial z^2} \quad \dots \dots \dots (1)$$

で表わされる。ここに u は過剰間隙水圧、 t は圧密開始後の経過時間、 z は砂層表面からの深さである。後述されるように、圧密過程が始まると仮定された時間までの深さに沿する過剰間隙水圧は近似的に三角形分布をなすことが、单打実験、連打実験いずれの実測記録においても観察されるので、その初期条件は

$$u(z, 0) = \alpha z \quad \dots \dots \dots (2)$$

と仮定される。さらに、鉛直方向の一次元的浸透流を仮定すれば、その境界条件は

$$u(0, t) = 0 \quad \dots \dots \dots (3)$$

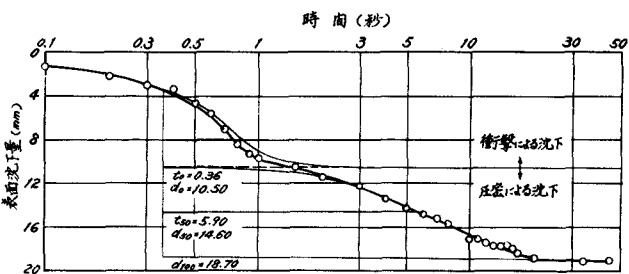


図-4 単打実験沈下曲線

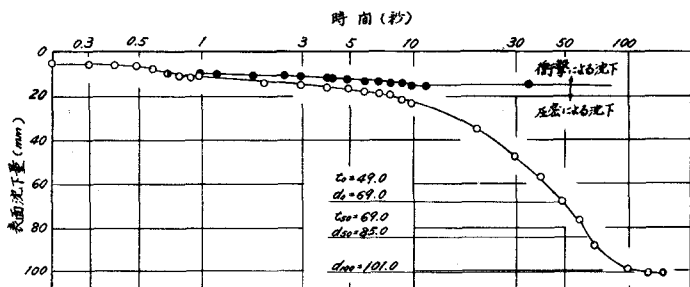


図-5 連打実験沈下曲線

$$\frac{\partial}{\partial z} u(H_0, t) = 0 \quad \dots \dots \dots \quad (4)$$

となる。 $(2), (3), (4)$ による方程式 (1) の解は

$$U = \frac{8aH}{\pi^2} \sum_{n=0}^{\infty} (-1)^n \frac{1}{(2n+1)^2} \sin \frac{2n+1}{2H} \pi z \cdot \exp \left[-\frac{(2n+1)^2 \pi^2 Gt}{4H^2} \right] \quad \dots \quad (5)$$

となる。次に(5)式で計算される過剰間ゲキ水圧の消滅過程を両実験の実測記録と比較する。

单打実験：図-6 の破線で示される一連の過剰間隔水圧分布線は、第1回目の衝撃における実測記録から得られたもので、図中の各数字は圧巻過程が始まると仮定された時間からの経過時間を示している。この結果より、初期条件

$$U(z, 0) = \alpha z = \gamma' z \approx 0.90 z$$

が得られる。ここに \bar{g} は砂層の平均水中単位重量であり、この關係は衝撃によって砂層が完全に流動化したことを示している。次に圧密係数 C_b は、初期三角形間ゲキ水圧分布に対する圧密度 50 % の時間係数 T および図-4 に示される仮定圧密曲線の圧密度 50 % までの経過時間より、平均値として

$$C_{fr} = TH_0^2/t_{50} = 0.294 \times 110^2 / 5.54 \doteq 6.4 \times 10^2 \text{ cm}^2/\text{sec.}$$

と求められる。これらの値および C_0 の値を(5)式に代入すると、同図上に実線で示されているがそれが分布曲線が計算される。これらの計算値が実測値とかなり良く一致することより、砂層の透水率 K と水圧消滅過程も一次元圧密理論によって近似的に解析されるものと思われる。また、他の衝撃回数に対しても同様の結果が得られる。

連打実験：純粹な圧密過程は過剰間隙水圧が急激に減少し始める時間より始まると仮定すれば、全層あたりのその平均値は加振後約40秒となる。この圧密開始時ににおける各位置での実測過剰間隙水圧を各々の回数として表わせば、初期条件は

$$U(Z, 0) = QZ \approx 0.74 Z$$

となる。また C_α の値は、図-5 に示された沈下曲線より

$$C_v = 0.294 \times 103.5^2 / 20.0 = 151 \text{ cm}^3/\text{sec.}$$

計算される。これらの値を(5)式に代入して得られた計算値と実測値とが図-7に示されてゐるが、この場合にも両値はかなり良く一致することが認められる。

5. 結論

衝撃によって砂層が完全に流動化しようとしているにかかわらず、その沈下量は衝撃によるものおよび圧密によるものとの二つの過程に大別される。また、後者の圧密過程中における砂層の過剰間隙水圧消滅過程も粘土上の場合と同様に一次元圧密理論によって近似的に解析されるようである。

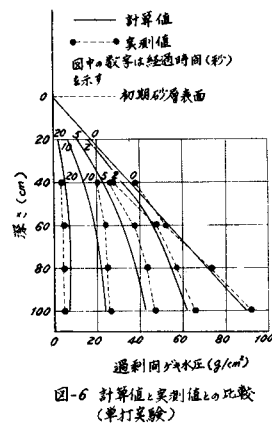


図-6 計算値と実測値との比較
(单打実験)

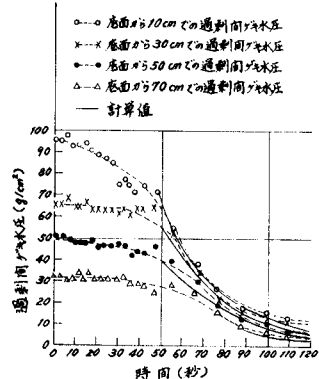


図-7 計算値と実測値との比較
(連打実験)